

ЗАДАЧА О НАГРУЗКЕ, ПРИЛОЖЕННОЙ К НЕУПРУГОМУ ПОЛУПРОСТРАНСТВУ С ЦИЛИНДРИЧЕСКОЙ ПОЛОСТЬЮ

НИКИТИН И. С.

Численно, методом распада произвольного разрыва, решается модельная задача о взаимодействии волны, идущей от границы неупругого полупространства с заглубленной цилиндрической полостью. В результате решения получена картина полей напряжений и зон пластической деформации вокруг полости. Производится сравнение с упругим решением.

1. Экспериментальные исследования поведения грунтов при динамических нагрузках указывают на их выраженные вязкопластические свойства за статическим пределом текучести [1]. Для описания этих свойств требуется знание некоторой экспериментально определяемой функции, входящей в закон неупругого деформирования за пределом текучести. Одномерный вариант модели упруговязкопластической среды применительно к одноосному деформированию стержней был предложен в [2]. Обобщение на сложное напряженное состояние приведено в [3]. В общей форме выражение для тензора скоростей неупругой деформации e_{ij}^p в упруго-вязкопластической среде имеет вид

$$2\mu e_{ij}^p = \frac{\langle \Phi(J_2^{1/2}/m-1) \rangle s_{ij}}{J_2^{1/2}/m} \frac{1}{\tau_0}$$

где s_{ij} — компоненты девиатора тензора напряжений, $J_2 = 1/2 s^i s_i$ — второй инвариант девиатора, m — статический предел текучести, λ, μ — модули упругости Ламе, τ_0 — константа материала размерности времени, $\langle \Phi(z) \rangle = \Phi(z) \theta(z)$ — некоторая функция своего аргумента, $\theta(z)$ — функция Хэвисайда.

Примем простейшую линейную зависимость для функции $\Phi(z) - \langle \Phi(z) \rangle = z \theta(z)$, входящей в закон неупругого деформирования: $2\mu e_{ij}^p = (J_2^{1/2}/m - 1) s_{ij} m / J_2^{1/2} \tau_0$. Фактически это есть среда типа Максвелла, в которой время релаксации напряжений τ существенно нелинейно меняется с изменением напряженного состояния, а именно: $\tau^{-1} = 0$, если напряжения не превысили предела текучести $\tau = \tau_0 J_2^{1/2} / (m J_2^{1/2} / m - 1)$

в противном случае. Из физических соображений можно ожидать, что если характерное время релаксации среды τ_0 много меньше времени пробега волны по характерному размеру задачи L , то $\tau_0 \ll L/a$ или $\epsilon = \tau_0 a / L \ll 1$ (a — скорость упругой продольной волны) и поведение среды будет мало отличаться от поведения идеальной упругопластической среды (за исключением окрестностей резких волновых фронтов, где характерное время изменения функций порядка или меньше характерного времени релаксации).

В одномерном случае строгое исследование этого вопроса проведено в [4], где для произвольной степенной зависимости $\Phi(z) = z^k$ показано, что при $\epsilon \ll 1$ асимптотическое решение упруговязкопластической задачи отличается от предельного (при $\tau_0 \rightarrow 0$) упругопластического лишь в окрестности сильных разрывов, и получены формулы для ширины размазанного пластического скачка.

В рассматриваемом случае ($k=1$) стремление решения к предельным значениям носит экспоненциальный характер, а эффективная ширина Δx переходной зоны не зависит от интенсивности пластической ударной волны. Оценка для Δx такова: $\Delta x \sim (\epsilon t)^{1/2}$. Поэтому на фиксированном интервале времени для достаточно малых ϵ решение упруговязкопластической задачи действительно можно считать приближенным решением для идеальной упругопластической среды с критерием пластичности Мизеса [5].

Сформулируем следующую динамическую задачу: к границе полупространства, занимающего в декартовой системе координат x, y, z область $y \leq 0$ с цилиндрической полостью радиуса R на глубине H в момент $t=0$, прикладывается нормальная нагрузка величины $\sigma_0(t)$. Ось полости направлена вдоль оси z . Граница полости свободна от напряжений. Деформации предполагаются малыми.

В произвольной криволинейной системе координат для изотропной среды справедлива система уравнений

$$\rho v_{,i}{}^i = \nabla_j p^{ij}, \quad p_{,i}{}^{ij} = \lambda e_k^k g^{ij} + 2\mu g^{i\alpha} g^{j\beta} e_{\alpha\beta} - \frac{\langle J_2^{1/2}/m-1 \rangle s^{ij}}{J_2^{1/2}/m} \frac{1}{\tau_0}$$

$$e_{\alpha\beta} = 1/2 (\nabla_\alpha v_\beta + \nabla_\beta v_\alpha)$$

где p^{ij}, s^{ij}, v^i — контравариантные компоненты тензора напряжений, его девиатора и вектора скорости, g^{ij} — метрический тензор используемой системы координат, ρ — плотность среды.

Введем биполарные координаты $x_1 = \alpha$ и $x_2 = \beta$ по формулам $x = a_0 \sin \beta / (\operatorname{ch} \alpha + \cos \beta)$, $y = -a_0 \operatorname{sh} \alpha / (\operatorname{ch} \alpha + \cos \beta)$, $a_0 = (H^2 - R^2)^{1/2}$ и безразмерные величины

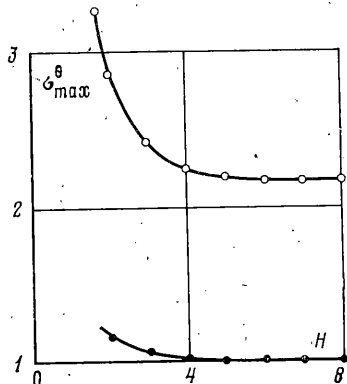
$\sigma^{ij} = p^{ij}/(\lambda + 2\mu)$, $u^i = -v^i/a$, $t^p = at/R$. Отметим, что биполярные координаты применялись в [6] для решения подобных упругих динамических задач — в несколько иной постановке и другим методом. В силу симметрии относительно оси $x=0$ задачу будем решать в правой полуплоскости $x \geq 0$ ($\beta \geq 0$). В прямоугольнике $0 \leq \alpha \leq \alpha_0$, $0 \leq \beta \leq \beta_0$, где $\alpha_0 = \text{ch}(H/R)$, $\beta_0 = \pi$, имеем систему уравнений

$$\begin{aligned} g\sigma_t^{11} + \lambda u_\alpha^4 + \lambda u_\beta^2 + 2 \frac{\lambda + \mu}{\text{ch } \alpha + \cos \beta} (u^2 \sin \beta - u^1 \text{sh } \alpha) + g \frac{\sigma^{11} - \sigma}{\tau} &= 0 \\ g\sigma_t^{12} + \mu u_\alpha^2 + \mu u_\beta^4 + g\sigma^{12}/\tau &= 0 \\ g\sigma_t^{22} + \lambda u_\alpha^4 + u_\beta^2 + 2 \frac{\lambda + \mu}{\text{ch } \alpha + \cos \beta} (u^2 \sin \beta - u^1 \text{sh } \alpha) + g \frac{\sigma^{22} - \sigma}{\tau} &= 0 \\ u_t^4 + \sigma_\alpha^{11} + \sigma_\beta^{12} + \frac{\sigma^{22} \text{sh } \alpha + 4\sigma^{12} \sin \beta - 3\sigma^{11} \text{sh } \alpha}{\text{ch } \alpha + \cos \beta} &= 0 \\ u_t^2 + \sigma_\alpha^{12} + \sigma_\beta^{22} + \frac{3\sigma^{22} \sin \beta - 4\sigma^{12} \text{sh } \alpha - \sigma^{11} \sin \beta}{\text{ch } \alpha + \cos \beta} &= 0 \\ \sigma &= \frac{\sigma^{11} + \sigma^{22} + \sigma^{33}/g}{3}, \quad g = \frac{a_0^2}{(\text{ch } \alpha + \cos \beta)^2}, \quad \tau = \tau_0 \frac{J_2^{1/2}/m}{\langle J_2^{1/2}/m - 1 \rangle} \end{aligned} \quad (1)$$

Граничные условия: $\sigma^{11} = \sigma_0(t)(1 + \cos \beta)^2/a_0^2$, $\sigma^{12} = 0$ при $\alpha = 0$; $\sigma^{11} = \sigma^{12} = 0$ при $\alpha = \alpha_0$; $\sigma^{12} = u^2 = 0$ (условия симметрии) при $\beta = 0$ и $\beta = \beta_0$.

Система [1] решалась численно методом распада произвольного разрыва [7]. Расчеты проводились на сетке размером 50×50 . Число Куранта для шага по времени выбиралось равным единице. Подробности построения численной схемы и оценки точности численных результатов приведены в [8]. Приложенная нагрузка выбиралась в виде «ступеньки» $\sigma_0(t) = \sigma_0 \theta(t)$. Характерные константы среды типа грунта имеют порядок [1]: плотность $\sim 1.5 \times 10^3$ кг/м³, скорость продольных волн $\sim 200-600$ м/с, предел текучести $\sim 0.1-0.3$ МПа, модули Ламе приблизительно равны. Оценка для характерного времени релаксации $\sim 10^{-3}$ с [9].

Модельные расчеты проводились при следующих значениях безразмерных параметров: $\lambda = \mu = 0.33$, $\tau_0 = 0.03$, $\sigma_0 = 1$, $m = 0.46$. При этих значениях падающая на полость волна была упругой, а возникновение и развитие пластических зон происходило только за счет дифракции на полости. Все результаты сравнивались с упругим решением, которое получается, если в уравнениях (1) положить $\tau^{-1} = 0$. Изменение τ_0 в довольно широком интервале $\sim 0.02-0.08$ на картине напряженного состояния вокруг полости после прохождения волнового фронта сказывается мало. При этом напряженное состояние вокруг полости таково, что в области ненулевых пластических деформаций условие пластичности можно считать практически выполненным.

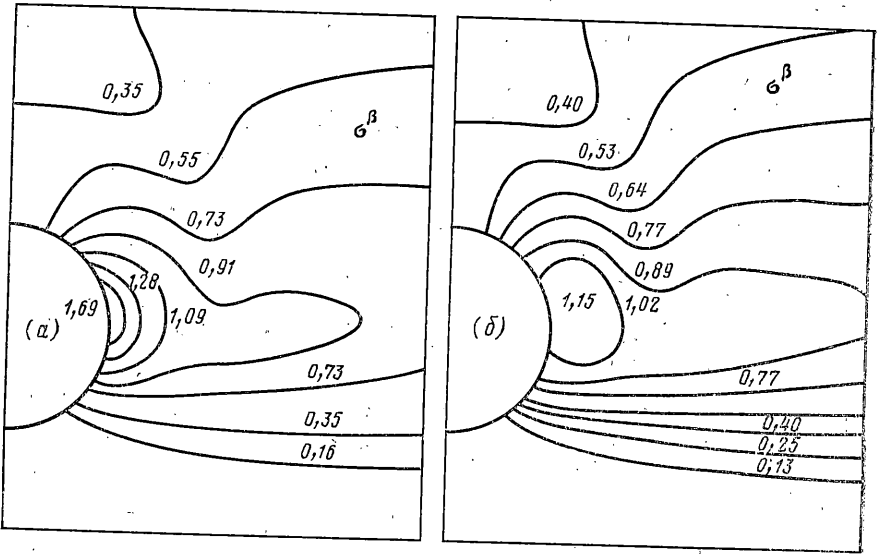


Фиг. 1

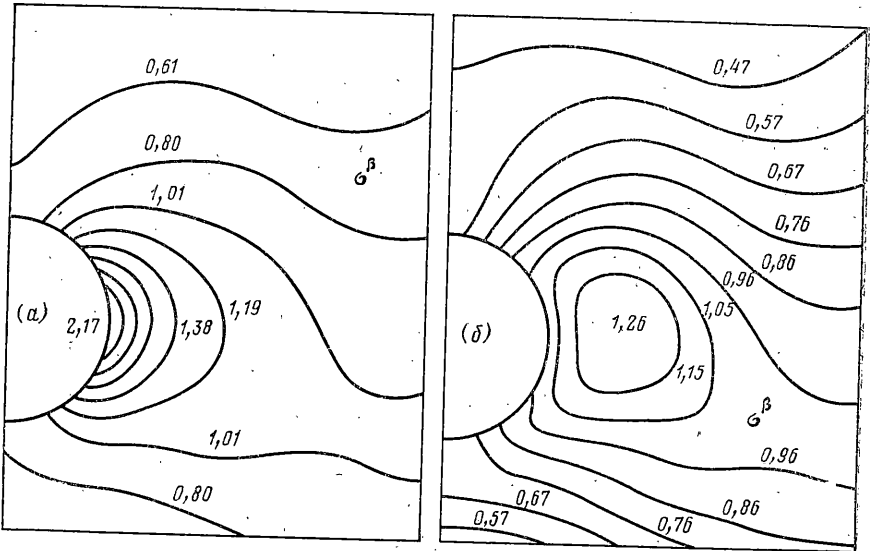
На фиг. 1 представлены зависимости величины σ_{max}^b в точке $\phi = \pi/2$ на полости от величины H . Верхняя линия соответствует упругому решению, нижняя — неупругому. Видно, что с уменьшением H до глубины $H \sim 4$ концентрация напряжений у полости почти не меняется. С дальнейшим уменьшением концентрация возрастает, причем в неупругом решении значительно слабее, чем в упругом. Более подробный анализ результатов при $H=6$ приведен на фиг. 2, 3. На фиг. 2 представлены линии уровня величины σ^b (эта величина близка к σ^b в окрестности полости и к σ^* вблизи границы полупространства) в момент $t_1 = 6.95$ (фронт продольной волны прошел полость), на фиг. 3 — в момент $t_2 = 8.95$. Фиг. 2, а и 3, а соответствуют полям напряжений в неупругой среде, а фиг. 2, б и 3, б — упругой среде.

Сравним основные особенности этих двух решений. Во-первых, значительное снижение концентрации напряжений в окрестности полости по сравнению с упругостью. В момент t_2 максимум σ^b достигает величины ~ 2.17 в упругом решении и только ~ 1.26 в неупругом (фиг. 3, а, б). Во-вторых, точка, в которой достигается максимум σ^b , смещается от свободной границы полости в упругом решении внутрь среды на расстояние $\sim R$ в неупругом.

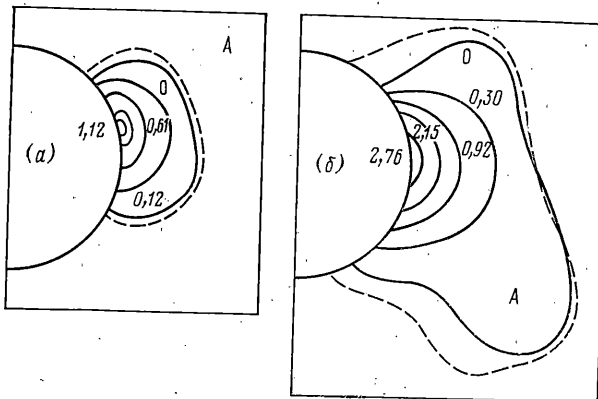
На фиг. 4, а, б приведены линии уровня пластической работы $A = \int \sigma^{ij} \epsilon_{ij}^p dt$ в неупругом решении в момент t_1 и t_2 . По ним можно судить о размерах пластической зоны вокруг полости. Штрихами на этих рисунках проведены линии, на которых величина второго инварианта девиатора напряжений в упругом решении



Фиг. 2



Фиг. 3



Фиг. 4

достигает предела текучести. Видно, что зона развитых пластических деформаций лежит в зоне «возможной» пластичности, полученной из упругого решения, т. е. упругое решение позволяет оценивать размер пластической зоны с некоторым запасом.

ЛИТЕРАТУРА

1. Рыков Г. В., Скобеев А. М. Измерение напряжений в грунтах при кратковременных нагрузках. М.: Наука, 1978. 168 с.
2. Соколовский В. В. Распространение упруговязкопластических волн в стержнях.— ПММ, 1948, т. 12, вып. 3, с. 261—280.
3. Пэжина П. Основные вопросы вязкопластичности. М.: Мир, 1968. 176 с.
4. Кукуджанов В. Н. Распространение упругопластических волн в стержне с учетом влияния скорости деформации. М.: ВЦ АН СССР, 1967. 48 с.
5. Кукуджанов В. Н. Одномерные задачи распространения волн напряжений в стержнях. М.: ВЦ АН СССР, 1977. 54 с.
6. Дашевский М. А. Распространение волн при колебаниях тоннелей метро.— Строит. механика и расчет сооружений, 1974, № 6, с. 29—34.
7. Годунов С. К., Забродин А. В., Иванов М. Я., Крайко А. Н., Прокопов Г. П. Численное решение многомерных задач газовой динамики. М.: Наука, 1976. 400 с.
8. Никитин И. С. Задача о подвижной нагрузке на границе упругого полупространства с цилиндрической полостью.— Изв. АН СССР. МТТ, 1984, № 3, с. 93—99.
9. Ляхов Г. М. Определение вязких свойств грунта.— ПМТФ, 1968, № 2, с. 68—71.

Москва

Поступила в редакцию
27.III.1984

УДК 624.07:534.1

ТЕРМОУСТОЙЧИВОСТЬ НЕОДНОРОДНО-СТАРЕЮЩИХ ВЯЗКОУПРУГИХ СТЕРЖНЕЙ ПРИ МАЛЫХ ДЕФОРМАЦИЯХ

СОЛОМЕНЦЕВ Ю. Е.

Общие постановки и методы решения задач термовязкоупругости рассмотрены в [1]. Некоторые задачи устойчивости вязкоупругих систем исследовались в [2—4]. В публикуемой работе рассмотрена задача устойчивости неоднородно-стареющего вязкоупругого стержня под действием температурных напряжений.

1. Рассмотрим прямолинейный стержень длины l , изготовленный из неоднородно-стареющего вязкоупругого материала. Поперечное сечение стержня имеет ось симметрии, его площадь равна S , а момент инерции относительно главной оси перпендикулярной оси симметрии равен J . Изгиб происходит в плоскости, проходящей через ось симметрии и продольную ось стержня Ox . В момент времени $t=0$ к стержню приложена распределенная поперечная нагрузка интенсивности $q(x)$. Температура стержня $\theta(t, x)$ считается заданной, причем $\theta(0, x)=0$; $\theta(t, x)=\partial\theta(t, x)/\partial t \geq 0$, $\forall x \in [0, l]$; функция $\theta_0(x) = \lim_{t \rightarrow \infty} \theta(t, x)$, $t \rightarrow \infty$ непрерывна и ограничена.

Возраст элемента материала стержня в окрестности точки x при $t=0$ обозначим $\rho(x)$, $\rho(0)=0$. Функция ρ кусочно непрерывна и ограничена. При одноосном напряженном состоянии напряжение $\sigma(t, x)$ и деформация $\varepsilon(t, x)$ связаны соотношениями [3] $\varepsilon = E^{-1}(I+K)\sigma + \alpha\theta = E^{-1}(I-R)^{-1}\sigma + \alpha\theta$, $\sigma = E(I+K)^{-1}(\varepsilon - \alpha\theta) = E(I-R) \cdot (\varepsilon - \alpha\theta)$, где E — мгновенный модуль Юнга, $\alpha > 0$ — коэффициент линейного теплового расширения, I — единичный оператор, K — оператор ползучести с ядром $k(t, \tau) \geq 0$, R — оператор релаксации с ядром $r(t, \tau) \geq 0$. Функции $k(t, \tau)$ и $r(t, \tau)$ предполагаются слабосингулярными

$$K\sigma(t, x) = \int_0^t k(t+\rho(x), \tau+\rho(x)) \sigma(\tau, x) d\tau$$

$$R\varepsilon(t, x) = \int_0^t r(t+\rho(x), \tau+\rho(x)) \varepsilon(\tau, x) d\tau$$

Пусть прогиб $y(t, x)$ мал так, что $(y'(t, x))^2 = (\partial y(t, x)/\partial x)^2 \ll 1$ и выполняется гипотеза плоских сечений.

Определение. Стержень называется устойчивым на бесконечном интервале вре-